

## CH3D06065I

内绝缘型碳化硅二极管

### 产品特性

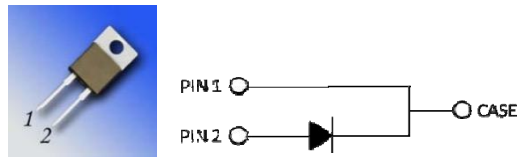
- 反向耐压 650V
- 零反向恢复电流
- 工作频率高
- 开关特性不受温度影响
- 开关速度快
- 正向压降正温度系数

### 产品优点

- 开关损耗极低
- 效率更高
- 系统对散热片的依赖低
- 并联器件中没有热崩溃

### 应用领域

- 开关模式电源、AC/DC 变换器
- 功率因数校正
- 电机驱动
- 光伏逆变器、风力发电机



产品型号	封装形式	打标
CH3D06065I	TO-220-2	CH3D06065I

### 最大额定值(无特殊说明时 $T_J=25^{\circ}\text{C}$ )

标识	参数	数值	单位	测试条件	备注
$V_{RRM}$	反向重复峰值电压	650	V		
$V_{RSM}$	反向浪涌峰值电压	650	V		
$V_{DC}$	反向直流电压	650	V		
$I_F$	平均正向电流	23 12 6	A	$T_c=25^{\circ}\text{C}$ $T_c=135^{\circ}\text{C}$ $T_c=150^{\circ}\text{C}$	Fig.3
$I_{FRM}$	正向重复峰值电流	35 18	A	$T_c=25^{\circ}\text{C}, t_p=10\text{ms}, \text{Half Sine Wave}$ $T_c=110^{\circ}\text{C}, t_p=10\text{ms}, \text{Half Sine Wave}$	
$I_{FSM}$	正向不重复峰值电流	60 42	A	$T_c=25^{\circ}\text{C}, t_p=10\text{ms}, \text{Half Sine Wave}$ $T_c=110^{\circ}\text{C}, t_p=10\text{ms}, \text{Half Sine Wave}$	
$P_{tot}$	耗散功率	128 50	W	$T_c=25^{\circ}\text{C}$ $T_c=110^{\circ}\text{C}$	Fig.4
$T_J$	工作温度	-55 to +175	°C		
$T_{stg}$	贮存温度	-55 to +175	°C		

## 电特性

标识	参数	典型值	大值	单位	测试条件	备注
$V_F$	正向压降	1.42	1.6	V	$I_F=6A, T_J=25^{\circ}C$	Fig.1
		1.59	1.8		$I_F=6A, T_J=175^{\circ}C$	
$I_R$	反向电流	2	30	$\mu A$	$V_R=650V, T_J=25^{\circ}C$	Fig.2
		15	120		$V_R=650V, T_J=175^{\circ}C$	
$Q_C$	总存储电荷	23		nC	$V_R=400V, I_F=6A, T_J=25^{\circ}C$	
C	总电容	423		pF	$V_R=0V, T_J=25^{\circ}C, f=1MHz$	Fig.5
		44			$V_R=200V, T_J=25^{\circ}C, f=1MHz$	
		37			$V_R=400V, T_J=25^{\circ}C, f=1MHz$	

## 热特性

标识	参数	典型值	单位	备注
$R_{thJC}$	结到壳热阻	2.3	°C/W	Fig.6

## 特征曲线

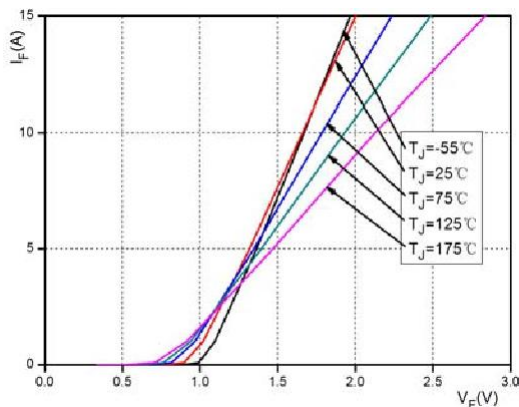


Fig. 1. 正向特性曲线

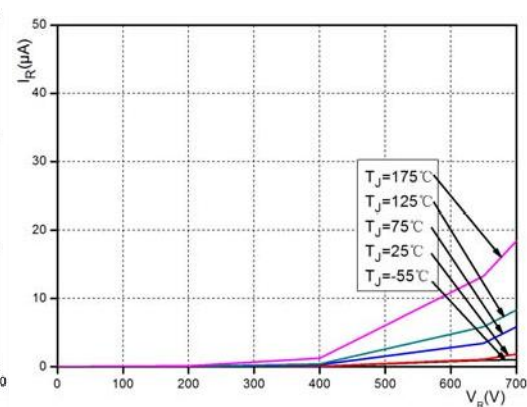


Fig. 2 反向特性曲线

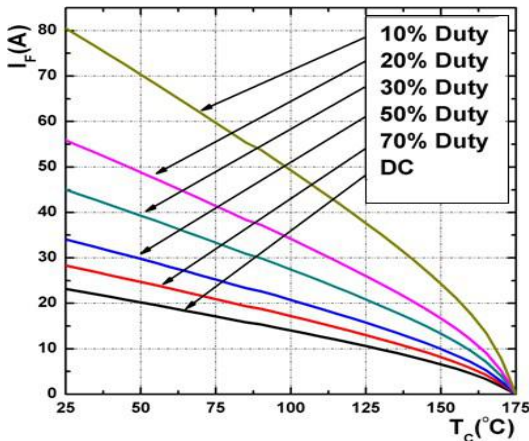


Fig. 3 不同负载下的电流

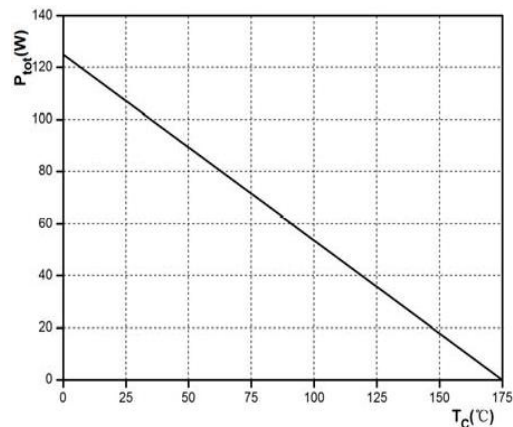


Fig. 4 耗散功率曲线

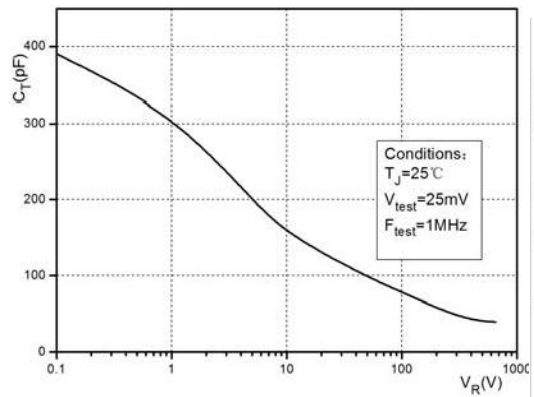


Fig. 5 电容一反向电压曲线

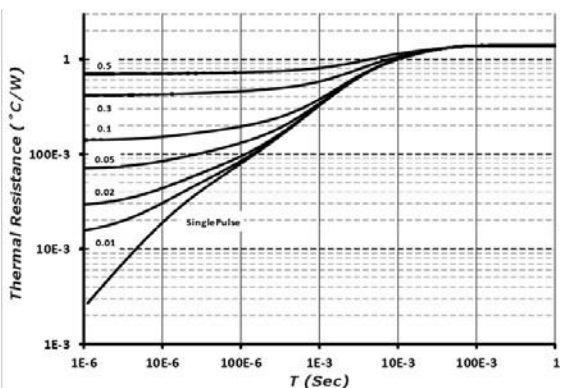
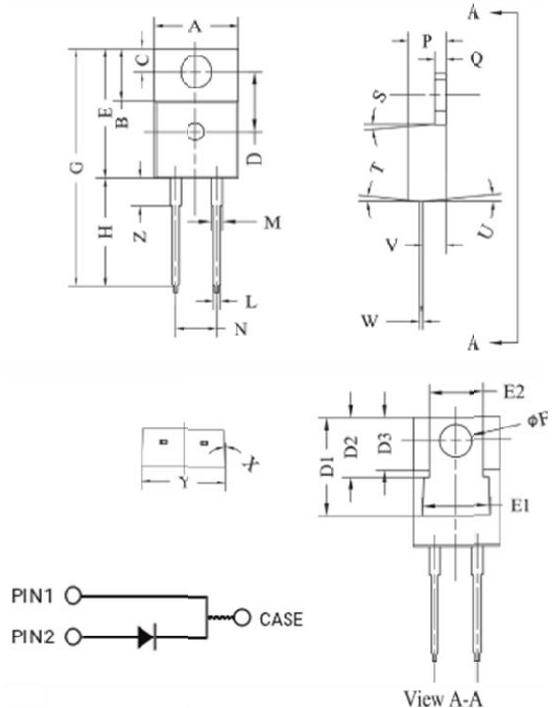


Fig. 6 结到壳热阻曲线

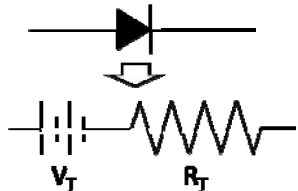
## 封装信息

封装形式 TO-220-2



POS	Inches		Millimeters	
	Min	Max	Min	Max
A	0.381	0.410	9.677	10.414
B	0.235	0.255	5.969	6.477
C	0.100	0.120	2.540	3.048
D	0.223	0.337	5.664	8.560
D1	0.457-0.490 typ.		11.60-12.45 typ.	
D2	0.277-0.303 typ.		7.04-7.70 typ.	
D3	0.244-0.252 typ.		6.22-6.4 typ.	
E	0.590	0.615	14.986	15.621
E1	0.302	0.326	7.68	8.28
E2	0.227	0.251	5.77	6.37
F	0.143	0.153	3.632	3.886
G	1.105	1.147	28.067	29.134
H	0.500	0.550	12.700	13.970
L	0.025	0.036	0.635	0.914
M	0.045	0.055	1.143	1.550
N	0.195	0.205	4.953	5.207
P	0.165	0.185	4.191	4.699
Q	0.048	0.054	1.219	1.372
S	3°	6°	3°	6°
T	3°	6°	3°	6°
U	3°	6°	3°	6°
V	0.094	0.110	2.388	2.794
W	0.014	0.025	0.356	0.635
X	3°	5.5°	3°	5.5°
Y	0.385	0.410	9.779	10.414
Z	0.130	0.150	3.302	3.810

## 二极管模型



$$V_{fT} = V_T + I_f \times R_T$$

$$V_T = 0.94 - 1.27 \times 10^{-3} \times T_J$$

$$R_T = 0.08 + 1.71 \times 10^{-4} \times T_J + 1.63 \times 10^{-6} \times T_J^2$$

Note:  $T_J$  = Diode Junction Temperature In Degree Celsius, valid from -55°C to 17 °C.